

## الگوریتم تصمیم‌گیری سطح بالا با تحلیل سیگنال‌های قطر مردمک

لیلا یحیایی<sup>۱</sup>، دانشجوی دکتری، رضا ابراهیم پور<sup>۲</sup>، استاد، عباس کوچاری<sup>۳</sup>، استادیار

۱- گروه مهندسی کامپیوتر، واحد علوم و تحقیقات، دانشگاه آزاد اسلامی، تهران، ایران

۲- دانشکده مهندسی کامپیوتر، دانشگاه تربیت دبیر شهید رجایی، تهران، ایران

۳- گروه مهندسی کامپیوتر، واحد علوم و تحقیقات، دانشگاه آزاد اسلامی، تهران، ایران

**چکیده:** محققین سعی دارند با پیاده‌سازی الگوریتم‌های تصمیم‌گیری مشابه عملکرد مغز، به قدرت قابل توجه ذهن انسان دست یابند. تصمیم‌های سلسله مراتبی، تصمیمات پیچیده‌ای هستند که نیاز به مکانیزم‌های استدلال فراشناختی در مغز دارند. بازخورد منفی، قطعیت و قدرت محرك، پارامترهایی هستند که در شکل‌گیری این نوع تصمیمات نقش دارند. در این پژوهش به‌منظور ساخت یک چارچوب محاسباتی مشابه عملکرد مغز برای سیستم‌های هوشمند، درک ماهیت بیولوژی شکل‌گیری تصمیمات سطح بالا، استفاده از انواع دیگر داده‌ها علاوه بر داده‌های رفتاری نیز مهم خواهد بود. از آنجایی که پاسخ‌های غیرارادی چشمی حاصل از خروجی آزمایش روان-فیزیک، نماینده معتبری از عملکرد ساز و کار نورونی مغز می‌باشند، در این پژوهش علاوه بر تحلیل داده‌های رفتاری به این مسئله پرداخته شد که آیا با تحلیل داده‌های غیرارادی انسان (سیگنال‌های چشمی) می‌توان به دینامیک حاکم بر تغییرات تصمیمات سطح بالا بی برد. مشاهده شده که اندازه قطر مردمک، احتمال تغییر در پارامترهای تصمیم‌های سطح بالا را پیش‌بینی می‌کند و بازتاب استراتژی تصمیم سطح بالای فرد تحت شرایط پیچیده است. سپس در راستای توسعه ابزارهای مشابه عملکرد مغز در محیط‌های پیچیده، چارچوبی برای تصمیمات سلسله‌مراتبی ارائه شده است.

**کلید واژه:** سیستم‌های هوشمند، تصمیم‌گیری سلسله مراتبی، مردمک چشم، انسان.

## High-level Decision Algorithm with Analysis of Pupil Diameter Signals

Leyla Yahyai, Phd.student, Reza Ebrahimpour, Full Professor<sup>2</sup>, Abbas Koochari, Assistant Professor<sup>3</sup>

1- Department of Computer Engineering, Science and Research Branch, Islamic Azad University, Tehran, Iran,  
L.yahyai@iausalmash.ac.ir

2-School of Cognitive Sciences, Institute for Research in Fundamental Sciences (IPM), Tehran, Iran, rebrahimpour@sru.ac.ir

3- Department of Computer Engineering, Science and Research Branch, Islamic Azad University, Tehran, Iran,  
Koochari@srbiau.ac.ir

**Abstract:** Researchers are trying to achieve the power of the human mind by implementing decision-making algorithms similar to brain function. Hierarchical decisions are complex decisions that require metacognitive reasoning mechanisms in the brain. Negative feedback, certainty, and motion strength are the parameters that play a role in shaping such decisions. In this study, in order to design a computational framework similar to brain function for intelligent systems, it will be important to understand the biology nature of high-level decision-making, using other types of data in addition to behavioral data. Since involuntary eye responses resulting from the output of psychophysical experiments are a reliable representative of the function of the neuronal mechanism in the brain, in this study addition to the analysis of behavioral data, this issue has been addressed whether it is possible to understand the dynamics of changes in high-level decisions by analyzing involuntary human data (eye signals). We found that pupil diameter size predicts the likelihood of changes in the parameters of high-level decisions, and reflects the individual's high-level decision strategy under complex conditions. Then, in order to design systems similar to brain function in complex environments, we provide a framework for hierarchical decisions.

**Keywords:** Intelligent systems, hierarchical decision making, pupil, human.

تاریخ پذیرش مقاله: ۱۴۰۰/۱۲/۱۳

تاریخ اصلاح مقاله: ۱۴۰۰/۱۱/۲۱

تاریخ ارسال مقاله: ۱۴۰۰/۰۹/۱۹

نام نویسنده مسئول: رضا ابراهیم پور

نشانی نویسنده مسئول: ایران - تهران - دانشگاه شهید رجایی - دانشگاه مهندسی کامپیوتر - گروه هوش مصنوعی



## مدل‌سازی سیستم‌های پیچیده از جمله مواردی است که توجه

تحقیقان را در سال‌های اخیر جلب کرده است [۲۰-۲۱].

تصمیمات سلسله مراتبی دارای سه پارامتر قطعیت، قدرت محرك و بازخورد منفی هستند. یکی از موضوعات چالش برانگیز در مطالعه این تصمیمات ادراکی پیچیده سطح بالا، بررسی نقش این سه پارامتر است. پس از اخذ تصمیم سطح بالا، پا سخ دریافتی می‌تواند یک بازخورد مثبت یا یک بازخورد منفی باشد. از آنجایی که تشخیص استراتژی صحیح از نتایج تصمیم‌های سطح پایین استنتاج می‌شود علت بازخورد منفی نامعلوم و مبهم است. عوامل تاثیرگذار در تعویض استراتژی در تصمیمات سطح بالا بدون هشدار تغییر می‌کند، این تغییر ارتباط بین انتخاب‌های سطح پایین و یک استراتژی صحیح موجود را به هم می‌زند و باعث می‌شود ابهام بازخورد منفی به راحتی قابل حل نباشد. برای حل ابهام بازخورد منفی باید از ارتباط بین سطوح مختلف سلسله مراتب اطلاعات کافی داشته باشیم [۲۱-۲۲]. ولی راه و روش این ارتباطات به طور کامل شناخته شده نیست، از آنجائی که نحوه شکل‌گیری این ارتباط مهم و حیاتی است این موضوع همواره مورد توجه تحقیقان بوده است. در این راستا بررسی نحوه شکل‌گیری تصمیمات سطح بالا و تأثیر این تصمیمات در سیگنال‌های چشمی و مغزی کمک زیادی برای حل ابهام بازخورد منفی خواهد کرد.

از آنجایی که شناخت سازوکار نورونی و بررسی ویژگی‌های تصمیم‌های سطح بالا در انسان سخت است، استفاده از انواع داده‌ها می‌تواند این موضوع را آشکارتر کند [۱۶]. در نتیجه یکی از روش‌های تحلیل، استفاده از داده‌های رفتاری در راستای تشخیص چگونگی شکل‌گیری تصمیم‌گیری سلسله مراتبی است. پورسل با ارائه یک چارچوب محاسباتی و تحلیل داده‌های رفتاری بر اساس سه پارامتر مربوط به تصمیمات سطح بالا نشان داده است که تجمعی شواهد بازخودهای منفی متوازن وزن‌گذاری شده با قطعیت منجر به شکل‌گیری متغیر تغییر تصمیم سطح بالا می‌شود [۲۱]. زمانی که مقدار این متغیر به یک حد آستانه می‌رسد تصمیم سطح بالا تغییر می‌کند. ولی داده‌های رفتاری نمی‌توانند یک پیش‌بینی مشخصی از احتمال تغییر تصمیم سطح بالا ارائه دهند. در نتیجه ارائه روشی برای پیش‌بینی احتمال تغییر تصمیم سطح بالا، بدون بررسی و تحلیل ویژگی‌های پنهان حائز اهمیت است. فعالیت‌های چشمی از جمله اندازه قطر مردمک با فرایندهای تصمیم‌گیری در ارتیاطنده [۲۲-۲۳]. در یک مطالعه نشان داده شده است که پاسخ‌های مردمک قبل از دریافت بازخورد می‌توانند قطعیت شکل گرفته شده را بازنمایی کنند [۱۵]. همچنین ارتباط بین پاسخ‌های مردمک در آزمایه‌های با دریافت بازخورد مثبت و منفی نیز مورد مطالعه قرار گرفته است [۲۴]. بنابراین اگر پاسخ‌های مردمک بتوانند با دقت بالایی احتمال تغییر تصمیمات سطح بالا را پیش‌بینی کنند نه تنها ضعف و محدودیت روش‌های قبلی (تحلیل داده‌های رفتاری، ثبت نورونی) را جبران کرده بلکه نشان می‌دهند اطلاعات مربوط به تصمیمات سطح بالا و پیچیده می‌تواند در

## ۱- مقدمه

بسیاری از تصمیمات تحت عدم قطعیت، نتیجه فرآیندی است که در آن مغز شواهد حسی-تصادی دریافتی از محیط بیرون را در طول زمان برای انتخاب قطعی یک گزینه جمع‌آوری و وزن‌گذاری می‌کند [۱-۳]. ابزارها و الگوریتم‌های مختلفی برای تصمیم‌گیری در دنیای کامپیوتر مطرح شده است [۴-۶]. ابزارهای تصمیم‌گیری موجود سعی دارند به قدرت قابل توجه ذهن انسان در تصمیم‌گیری، در یک محیط توانم با عدم قطعیت، دست یابند و مشابه انسان استنتاج کنند. برای ساخت کامپیوترهای هوشمندتر باید اطلاعاتی درباره ادراکات، زبان، نحوه یادگیری، توجه، خلاقیت حل مسئله و تصمیم‌گیری انسان داشته باشیم [۷]. بنابراین شناخت سازوکار نورونی مغز در این زمینه‌ها حائز اهمیت است.

برای توسعه ابزارهای تصمیم‌گیری موجود در سیستم‌های مشابه عملکرد انسان، مطالعه تصمیم‌گیری در مغز کمک زیادی در این زمینه خواهد کرد. تصمیم‌گیری در مغز یک فرآیند پیچیده است و پارامترهای زیادی در آن دخیل هستند که آنالیز آن را پیچیده می‌کند. مطالعه فرایند اخذ تصمیم در مغز نیازمند طراحی آزمایشی دقیق و قابل کنترل است که از پرکاربردترین آن‌ها می‌توان به آزمایش نقاط متحرک تصادفی (RDM) اشاره کرد [۸]. RDM یک آزمایش ادراکی است که مبتنی بر متغیرهای حسی است و آزمودنی‌ها از اطلاعات گیرنده‌های حسی خود، در ارتباط با محرك‌های بینانی استفاده می‌کنند. در این آزمایش، تعدادی نقطه در حال حرکت، که تنها بخشی از آن‌ها جهت حرکت یکسانی دارند، به آزمودنی‌ها نشان داده می‌شود. در پایان نمایش محرك، از آزمودنی‌ها خواسته می‌شود که جهت حرکت نقاط همسو را گزارش کنند [۹-۱۰]. خروجی این آزمایش‌ها چگونگی جمع‌آوری شواهد حسی تصادفی تاریخی به یک حد آستانه تصمیم را بازنمایی کنند. خروجی‌های حاصل از این آزمایش‌ها می‌توانند داده‌های رفتاری، سیگنال‌های چشمی یا مغزی باشند [۱۱-۱۲].

با وجود مطالعات و تحقیقات گسترده در چگونگی پردازش اطلاعات ادراکی در مغز، همچنان دانش کافی در مورد ساز و کار نورونی مغز انسان در تصمیمات پیچیده در محیط‌های توانم با عدم قطعیت وجود ندارد. از این رو، اخیراً مطالعات تصمیم‌گیری ادراکی در مسائل دنیای واقعی و تصمیم‌های سلسله مراتبی اهمیت پیدا کرده است. تصمیمات زندگی روزمره، شامل طیف و سیعی از تصمیمات همزمان [۱۳]، چندگزینه‌ای و متوازن [۱۴-۱۵] یا گرسیسته در زمان است [۱۶]. تصمیمات در برخی موارد، شامل سلسله‌ای از تصمیم‌های مختلف است و نتایج تصمیمات سطح بالا نشأت گرفته از خروجی تصمیم‌های سطح پایین خواهد بود [۱۷]. درک اساس فرآیند اخذ تصمیم سلسله مراتبی در مغز و سازوکار نورونی این نوع تصمیمات به منظور ارائه الگوریتم‌هایی برای ابزارهای شناختی در جهت کنترل و

فرکانس ۷۵ هرتز قرار گرفتند. سیگنال‌های چشمی با استفاده از دستگاه ریدیاب چشمی EyeLink Plus 1000 (SR-Research) با فرکانس نمونه‌برداری ۱۰۰۰ هرتز ثبت شد. در طول آزمایش‌ها، ریدیاب چشم می‌تواند داده‌ها را از هر دو چشم ثبت کند که داده‌های مربوط به چشم سمت چپ ثبت شد. داده‌های چشم چپ از طریق لینک اترنت به دستگاه ریدیاب چشمی متصل شده بود. دستگاه ریدیاب چشمی توسط کامپیوتر میزبان کنترل می‌شد و اندازه قطر مردمک و مختصات چشم روی محور x, y ثبت شد. قبل از شروع هر آزمایش موقعیت چشم در ابتدای هر بلوک از آزمایش اعتبارسنجی و تنظیم شد برای اعتبارسنجی، آزمودنی‌ها برای مدت کوتاهی چشمان خود را روی ۹ نقطه از صفحه نمایش، ثابت نگه می‌داشتند. پس از انجام این مراحل، آزمایش اصلی آغاز می‌شد. بهمنظور محاسبه خطای چشم بیشینه ۷۵ درجه بینایی و میانگین نیم درجه بینایی به ازای ۹ نقطه اعتبارسنجی نمایش داده شده، به عنوان خطای قابل قبول پذیرفته شد. داده‌های ثبت شده از چشم سمت چپ در تمام آزمایش‌ها در یک فایل قابل بازبینی در نرمافزار متلب ذخیره شدند. در کلیه تحلیل‌ها حرکت‌های پلک با درون‌بایی خطی حذف شده است.

## ۲-۲-آزمودنی‌ها

۹ آزمودنی (زن: همه راست دست) با دید نرمال یا تصحیح شده به نرمال در این مطالعه شرکت کردند. این آزمایش با شرکت کنندگان سالم انسانی که هیچ سابقه بیماری روانی و عصبی نداشتند و دارو مصرف نمی‌کردند، انجام شد. کمیته اخلاق دانشگاه علوم پزشکی ایران این مطالعه را تأیید کرده است و نامی شرکت کنندگان قبل از شروع آزمایش رضایت‌نامه کتبی آگاهانه دریافت کردند. تمام آزمایش‌ها (حدود ۵۳۰۰ آزمایش) مطابق با دستورالعمل‌ها و مقررات اخلاقی انجام شدند. در این آزمایش ابتدا همه آزمودنی‌ها در چند جلسه آموزشی با آزمون RDM آشنا شدند. سپس چند جلسه آموزشی تضمیم‌گیری سلسه مراتی، را به منظور تنظیم معیار تضمیم‌گیری خود در حالت مناسب و همچنین برقراری تعادل مناسب میان دقت و سرعت عمل انتخاب، پشت سر گذاشتند. سپس مراحل اصلی آزمایش شروع شد. در پایان هر بلوک از آزمایش، افراد از میانگین دقت عملکرد مربوطه مطلع شدند. شایان ذکر است که، قبل از انجام هر آزمایش تو ضیح دستورالعمل انجام آزمایش به صورت فایل کتبی در اختیار آزمودنی‌ها قرار گرفت.

## ۲-۳-پروتکل آزمایش

چارچوب محاسباتی استفاده شده در این آزمایش سلسه مراتی همانند پژوهش پورسل و همکاران است [۲۱] و در سایکو تولباکس<sup>۲</sup> متلب پیاده‌سازی شد. در این آزمایش دو تضمیم‌گیری ادراکی سطح پایین و سطح بالا همزمان انجام شد. تضمیم‌گیری سطح پایین مربوط به انتخاب جهت نقاط متحرک تصادفی (چپ یا راست) است و تضمیم‌گیری سطح بالا در مورد انتخاب محیط بالا یا پایین است.

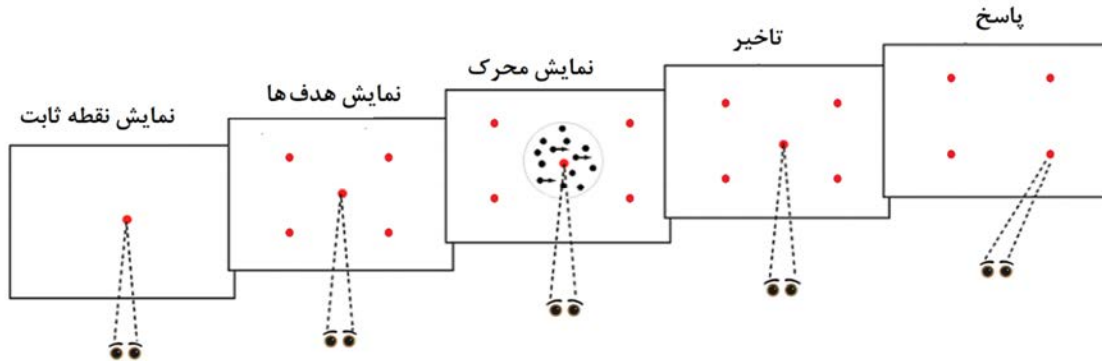
داده‌های غیرارادی چشمی نمایان شود. بنابراین برای رسیدن به هدف دستیابی به سیستم‌های مشابه عملکرد مغز انسان، مغز تنها مرجع در حال کار است و تلاش برای درک چگونگی عملکرد دقیق آن می‌تواند مسیر تقریباً تضمین شده‌ای به سوی شبیه‌سازی این سیستم‌های ارائه دهد.

هرچند الگوریتم‌های تضمیم‌گیری در مقایسه با تضمیم‌گیری انسان دارای ضعف‌هایی هستند لیکن با سرعت خوبی پیشرفت کرده‌اند. از جمله این پیشرفت‌ها می‌توان به ظهور شبکه‌های عمیق، که الهام گرفته از سیستم بینایی مغز انسان است، اشاره کرد که بسیاری از این ضعف‌ها را بطرف نموده است [۲۵]. از آنجایی که فرآیندهای پیچیده، شامل تضمیم‌های سازمان یافته سلسه مراتبی هستند که در بازه‌های زمانی مختلف اخذ می‌شوند، روش‌های موجود نمی‌توانند بدون دخالت فرد متخصص و به صورت هوشمند یک سلسه مراتب از گزینه‌های تضمیم‌گیری را تشکیل دهند. به عنوان مثال یک پزشک می‌خواهد به یک بیمار کمک کند، این پزشک باید بیماری را تشخیص دهد و سپس داروی مناسب با تشخیص خود را تجویز کند. حال اگر پس از مصرف داروهای تجویزی درمان حاصل نشود و بیماری بدون هیچ تغییری در بیمار وجود داشته باشد، سؤالی که پیش می‌آید این است که آیا پزشک بیماری را اشتباه تشخیص داده است؟ یا مشکلی در تشخیص وجود نداشته، بلکه داروها اشتباهی تجویز شده‌اند. دریافت بازخورد منفی ممکن است به علت استراتژی نادقيق (تشخیص اشتباه پزشک) یا به علت تضمیم‌های ادراکی سطوح پایین نادقيق (تجویز اشتباه دارو) باشد [۲۱].

در این مقاله سعی شده است در راستای غلبه بر چالش درک دینامیک حاکم بر تغییرات تضمیمات سلسه مراتبی از داده‌های غیرارادی انسان (داده‌های چشمی) استفاده شود که با بررسی پارامترهایی تضمیمات سلسه مراتبی در مشخصه‌های استخراج شده از سیگنال‌های مربوط به قطر مردمک، نشان داده شد که قطر مردمک می‌تواند به عنوان یک نماینده معتر بر از عملکرد نورون‌های بخشی از نواحی پیش پیشانی قشر مغز انسان در تغییرات تضمیمات پیچیده در نظر گرفته شود. سپس با ارائه چارچوبی از نحوه اجرای تضمیمات سلسه مراتبی سعی کردیم ایده‌ای برای توسعه الگوریتم‌های تضمیم‌گیری سیستم‌های پیچیده ارائه دهیم، که بر اساس سلسه‌های از اطلاعات با قطعیت کم و داده‌های نادقيق مشابه انسان بتوانند تضمیمی نزدیک به بهینه اتخاذ کنند.

## ۲-مواد و روش‌ها

**۱-۲-پروتکل ثبت داده‌های چشمی**  
آزمودنی‌ها آزمایش‌ها را در یک اتاق نیمه‌تاریک و عایق در برابر صدا انجام داده‌اند. برای ثبت داده‌ها ابتدا آزمودنی‌ها روی یک صندلی قابل تنظیم با ثابت‌کننده چانه و پیشانی به فاصله ۵۷ سانتی‌متر از صفحه نمایش CRT با قطر ۱۷ اینچ و وضوح تصویر ۸۰۰ در ۶۰۰ با



شکل ۱. طراحی آزمایش سلسله مراتبی [۲۱]. دو جفت هدف در بالا و پایین نقطه ثبت تثبیت‌کننده تمرکز نشان دهنده محیط بالا و پایین است. اهداف چپ یا راست در هر محیط جهت حرکت نقاط متحرک را تعیین می‌کنند. آزمودنی‌ها تصمیم سطح بالا و تصمیم سطح پایین را همزمان با حرکت چشمی گزارش می‌کردند. جهت حرکت نقاط متحرک و قدرت حرکت نقاط متحرک آن‌ها در آزمایش‌ها متفاوت بود.

همچنین به منظور بررسی تاثیر قدرت حرکت بر سیگنال‌های قطر مردمک از رگرسیون خطی<sup>۳</sup> (رابطه ۱) استفاده شده است (دستور در محیط متلب: regression).

$$Pupil = \beta_0 + \beta_1 * coherence + \epsilon \quad (1)$$

در این رابطه، متغیر مستقل coherence به مترله قدرت حرکت Pupil متغیر وابسته نمایانگر میانگین پاسخ‌های قطر مردمک در ۶ قدرت حرکت است. پارامترهای  $\beta_0$  عرض از میدا،  $\beta_1$  شیب خط و  $\epsilon$  جمله خطای است. برای پیش‌بینی احتمال تغییر تصمیم سطح بالا در تغییرات قطر مردمک از رگرسیون لجستیک<sup>۴</sup> (رابطه ۲) استفاده شده است (دستور در محیط متلب: mnrrfit).

$$P_{switch} = (1 + e^{-(\beta_0 + \beta_1 * Pupil)})^{-1} \quad (2)$$

در این رابطه، متغیر  $P_{switch}$  احتمال تغییر استراتژی، میانگین اندازه قطر مردمک در یک آزمایه و  $\beta_1$  ضرایب رگرسیون برآش شده هستند. در تحلیل داده‌های رفتاری، برای گزارش فاصله اطمینان از خطای استاندارد میانگین (SEM) مطابق رابطه ۳ استفاده شده است.

$$SE_x = s/n \quad (3)$$

در رابطه بالا  $SE$  خطای استاندارد،  $s$  انحراف معیار نمونه و  $n$  تعداد کل نمونه است. کلیه شبیه‌سازی‌ها و مقایسات آماری در محیط نرم‌افزار متلب انجام پذیرفته است.

### ۳- نتایج

#### ۱-۳- نتایج تحلیل داده‌های رفتاری

ابتدا برای بررسی چگونگی تأثیرگذاری بازخورد منفی و قدرت حرکت در تصمیمات سلسله مراتبی، به تحلیل داده‌های رفتاری به دست آمده از آزمایش روان-فیزیک پرداخته شد. رابطه بین قدرت حرکت در یک آزمایه‌های قبل از تغییر محیط و احتمال تغییر به طور جدا گا نه در آزمایه‌های با پاسخ درست و نادرست در شکل ۲-الف نشان داده شد. در آزمایه‌های با پاسخ درست- که با رنگ سبز نشان داده شده است-

رونده آزمایش به این صورت است که ابتدا یک نقطه ثابت قرمز رنگ به دایره قطر ۳/ درجه بینایی در مرکز صفحه نمایش به منظور ثابت نگه داشتن تمرکز آزمودنی‌ها ظاهر می‌شود. پس از یک تاخیر زمانی ۲۰۰ الی ۵۰۰ میلی ثانیه‌ای دو جفت هدف قرمز رنگ به طول ۵ درجه بینایی در دو طرف بالا و پایین، ۸ درجه خارج از حول نقطه تثبیت‌کننده تمرکز ظاهر می‌شود. پس از یک تاخیر زمانی ۲۰۰- ۵۰۰ میلی ثانیه‌ای دیگر، نقاط متحرک سفید رنگ مربعی شکل در یک دایره به قطر ۵ درجه بینایی در مرکز تصویر حول نقطه تثبیت‌کننده تمرکز ظاهر می‌شود. روی زمینه مشکی رنگ متحرک سفید رنگ هر کدام در سایز  $4 \times 4$  پیکسل (هر ضلع به اندازه ۰/۰۹۶ درجه بینایی) با میانگین تراکم ۱۶/۷ نقطه بر مربع درجه بینایی در هر ثانیه قرار می‌گرفتند. نقاط متحرک با ۶ قدرت حرکت ( $0/51/2$ ،  $0/25/6$ ،  $0/12/8$ ،  $0/6/4$ ،  $0/3/2$ ،  $0/0$ ) تعیین شده و محیط برای چندین آزمایه مطابق یک توزیع هندسی بریده شده در محدوده ۲ الی ۲۰ آزمایه با میانگین ۶ ثابت می‌ماند. تغییر محیط بدون علامت است. آزمودنی‌ها پاسخ‌های خود را در اسرع وقت با حرکت چشم در محیط بالا یا پایین به سمت یکی از دو جفت هدف قرمز رنگ گزارش می‌دادند. بلا فاصله پس از گزارش تصمیم، بازخورد دریافت می‌شد. درست یا نادرست بودن تصمیم تو سط دو بازخورد شنیداری (دو صدای بوق: فرکانس ۲۵۰ هرتز برای پاسخ درست و فرکانس ۱۰۰۰ هرتز برای پاسخ نادرست) به آزمودنی‌ها اعلام می‌گردید. در صورتی که هر دو تصمیم صحیح بود، بازخورد مثبت و در غیر این صورت بازخورد منفی بود. آزمایه بعدی بدون تاخیر بلا فاصله بعد از آزمایه قبلی شروع می‌شد. آزمایش‌های انجام شده حدود ۵۳۰۰۰ آزمایه است.

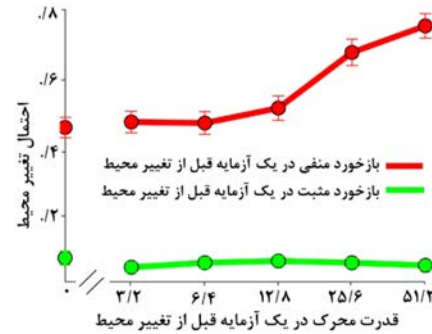
#### ۲-۴- آنالیز و تحلیل آماری داده‌ها

به منظور ارزیابی تاثیر بازخورد های منفی متوالی، در بازه پس از بازخورد- تصمیم بر روی سیگنال‌های مردمک از آزمون کروسکال- والیس<sup>۵</sup> (دستور در محیط متلب: kruskalwallis) استفاده شده است.

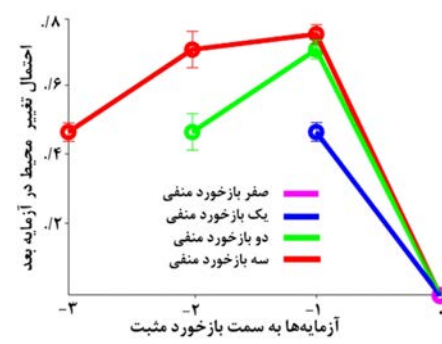
احتمال تغییر محیط پس از دریافت بازخورد مثبت صفر است. شکل ۲-ب نشان می‌دهد اگر نتیجه تصمیم بازخورد مثبت باشد، از آنجایی که مقدار متغیر تغییر محیط بعد از دریافت بازخورد مثبت فوراً به صفر بارگذاری می‌شود، علیرغم دریافت بازخوردهای منفی متواتی قبیل از یک بازخورد مثبت، احتمال تغییر محیط صفر خواهد بود. وقتی آزمودنی بازخورد منفی دریافت می‌کند همان لحظه محیط را تغییر نمی‌دهد، چون در مورد انتخاب‌های جهت حرکت نقاط مترادف است، معمولاً دو یا چهار آزمایه در یک محیط باقی می‌ماند. افزایش تعداد بازخوردهای منفی، احتمال تغییر محیط را افزایش می‌دهد. مانند در یک محیط یا تغییر آن، علاوه بر دریافت بازخورد منفی به پارامتر قدرت محرك نیز بستگی دارد. رخدادن قدرت محرك پایین در توالی بازخوردهای منفی احتمال تغییر محیط را کاهش می‌دهد. به عبارت دیگر تغییر استراتژی تصمیم سطح بالا زمانی رخ می‌دهد که بازخوردهای منفی وزن گذاری شده با قطعیت تصمیم‌های سطح پایین به یک حد آستانه بر سد. این مسئله برای یک آزمایه قبل و برای زیرمجموعه‌ای از آزمایه‌ها در شکل ۲-ج نشان داده شد ( $P < .05$ ). (Wallis-Kruskal

### ۳-۲-نتایج تحلیل سیگنال قطر مردمک

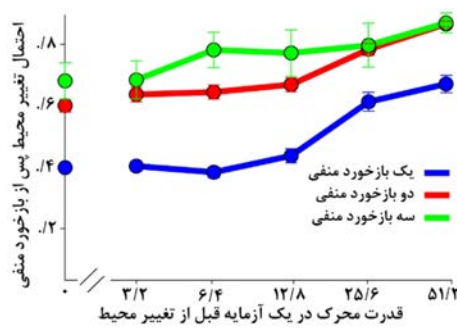
به منظور تحلیل سیگنال‌های چشمی و مقایسه با داده‌های رفتاری، تأثیر پارامترهای تصمیمات سلسه مراتبی بر اندازه قطر مردمک در آزمایه‌های بازخورد منفی بررسی شد. تحلیل سیگنال‌های چشمی در بازه پس از بازخورد-تصمیم صورت گرفته است. دو مؤلفه مقدار به شینه مردمک و مقدار میانگین قطر مردمک استخراج شده است. همان‌طور که در شکل ۳ نشان داده شده این مؤلفه‌ها ارتباط متناسب با پارامترهای بیان شده دارند. این مؤلفه‌ها برای پارامتر قدرت محرك (بالا متوسط و پایین) و همچنین توالی بازخوردهای منفی (یک، دو و سه) برای هر آزمودنی رسم شده است. مؤلفه‌های قطر مردمک در آزمایه‌های منفی ارتباط مستقیمی با قدرت محرك دارند. شکل ۳ قسمت الف و ب نشان می‌دهند در قدرت‌های محرك پایین، آزمایه سخت‌تر است. از آنجایی که در این نوع آزمایه‌ها جهت اخذ تصمیم درست شواهد بیشتری جمع‌آوری نشده است در نتیجه مقدار میانگین قطر مردمک و بیشینه مقدار مردمک کوچک‌تر است. ولی در قدرت محرك بالاتر زمانی که در آزمایه آسان بازخورد منفی دریافت می‌شود، به احتمال زیاد تصمیم سطح پایین درست انتخاب شده است و آزمودنی سعی کرده است با جمع‌آوری شواهد بیشتر در آزمایه‌های بعدی محیط را درست انتخاب کند که این امر منجر به افزایش اندازه قطر مردمک در دو حالت مقدار بیشینه مردمک و مقدار میانگین مردمک شده است. از آنجایی که برای رفع ابهام بازخورد منفی، آزمودنی چندین آزمایه در یک محیط باقی می‌ماند، تجمعی شواهد برای تغییر تصمیم سطح بالا عامل افزایش بار اطلاعاتی متغیر تغییر تصمیم می‌شود. این تغییرات بار اطلاعاتی در سیگنال‌های ثبت شده از مردمک نمود نمود پیدا می‌کند. در شکل ۳ قسمت ج و د نشان



(الف)



(ب)



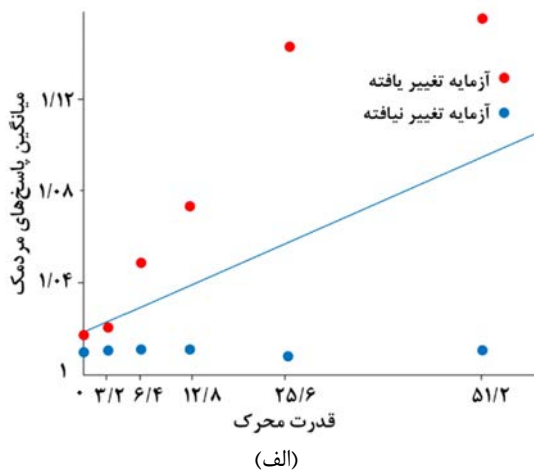
(ج)

شکل ۲. الف. احتمال تغییر محیط در دریک آزمایه قبل از تغییر با دریافت پاسخ نادرست و درست در قدرت‌های محرك مختلف. ب. احتمال تغییر محیط پس از دریافت یک بازخورد مثبت. ج. احتمال تغییر محیط در آزمایه‌های با توالی بازخورد منفی در قدرت محرك مختلف در تمامی قسمت‌ها دایره‌ها میانگین داده‌ها و خطوط SEM است (رابطه ۳).

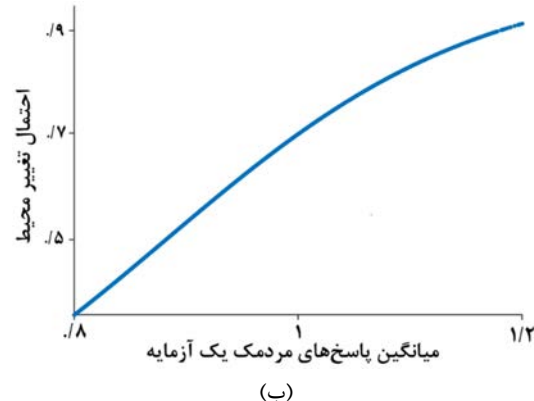
از آنجایی که آزمودنی‌ها از درست بودن انتخاب محیط و تصمیم سطح پایین خود مطمئن بودند تمایلی برای تغییر محیط نداشتند ولی در آزمایه‌های نادرست که منجر به دریافت بازخورد منفی شده بود، به منظور تلاش برای دریافت بازخورد مثبت در آزمایه‌های بعدی با افزایش قطعیت (افزایش قطعیت با قدرت محرك متناسب هست) در مورد جهت نقاط انتخابی، احتمال تغییر محیط افزایش یافت.

داده شده است که با افزایش توالی بازخوردهای منفی و تجمعی شواهد بیشتر، میانگین اندازه قطر مردمک و همچنین مقدار بیشینه مردمک نیز افزایش خواهد یافت.

در ادامه به بررسی وجود رابطه قدرت‌های محرك و میانگین اندازه قطر مردمک در یک آزمایه قبل از تغییر محیط و دیگر آزمایه‌ها می‌پردازیم (رابطه ۱). همان‌گونه که در شکل ۴-الف مشاهده می‌شود، میانگین اندازه قطر مردمک در آزمایه‌های که در آن‌ها تغییر رخ داده است بزرگ‌تر از دیگر آزمایه‌ها است ( $P<0.058$   $R^2=0.3$ ). بنابراین برای پاسخ دادن به این سؤال که آیا رابطه‌ای بین پارامترهای سیگنال‌های چشمی و تغییر تصمیم سطح بالا وجود دارد یا خیر، میانگین اندازه قطر مردمک با احتمال تغییر تصمیم سطح بالا بررسی شد. به عبارت دیگر میانگین اندازه قطر مردمک، در یک آزمایه قبل از تغییر محیط و بقیه آزمایه‌ها را بدون تفکیک اثر هر دو عامل (قدرت محرك و تعداد بازخوردهای منفی) با رگرسیون لجستیک بررسی کردیم (رابطه ۲). همان طور که در شکل ۴-ب مشاهده می‌شود، هر چقدر میانگین اندازه قطر مردمک بیشتر می‌شود احتمال تغییر تصمیم سطح بالا نیز افزایش می‌یابد ( $P<.05$   $\beta=5.189$ ).

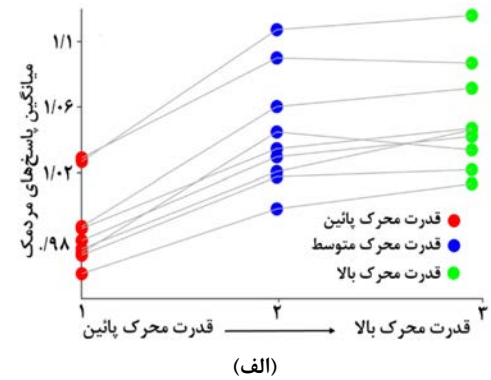


(الف)

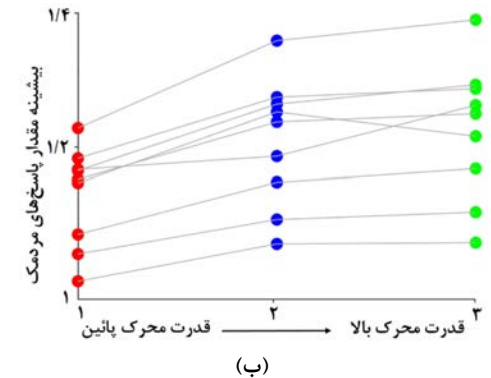


(ب)

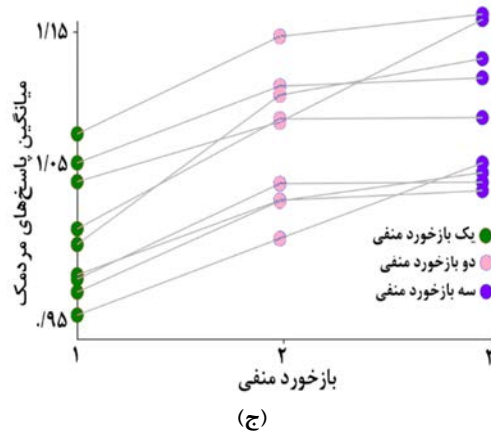
شکل ۴. الف. رابطه میانگین اندازه قطر مردمک با احتمال تغییر محیط در قدرت‌های محرك مختلف. ب. رابطه میانگین اندازه قطر مردمک با احتمال تغییر محیط



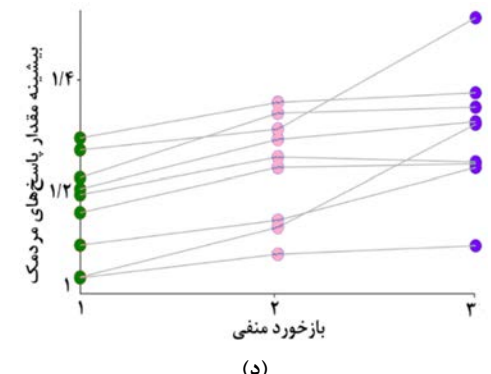
(الف)



(ب)



(ج)



(د)

شکل ۳. الف. رابطه میانگین اندازه قطر مردمک و ب. رابطه بیشینه مقدار مردمک با قدرت محرك (بالا، متوسط، پائین). ج. رابطه میانگین اندازه قطر مردمک و د. رابطه بیشینه مقدار مردمک با بازخوردهای منفی متواالی (یک، دو و سه).

1. Input: random sensory evidence (direction of motion)
2. Output: feedback
3. Decision (low level: left or right and high level: environment)
4. If feedback is positive go to 1
5. Else  $SE = SE + \text{signal} (\text{certainty} * \text{negative feedback})$
6. If  $SE < \text{threshold}$  go to 1
7. Else switch to a new environment
8.  $SE = 0$  go to 1

شکل ۵. الگوریتم تصمیم‌گیری سلسه مراتبی

یک دستور پخت، غذای را آماده کند ولی اگر نتیجه‌ی مورد قبولی حاصل نشود، این سؤال پیش می‌آید که آیا آشپز اشتباه کرده است؟ یا دستور پخت اشتباه بوده است؟ [۲].

تصمیمات توسط شواهد و استراتژی‌های موجود هدایت می‌شوند که اطلاعات را به عمل تبدیل می‌کنند. برای انتخاب‌های عاقلانه و درست، یک سیستم هو شمند باید یک استراتژی تصمیم‌منا سب اتخاذ کند. تغییرات در تصمیمات سطح بالا ممکن است پنهان باشد در نتیجه عدم تشخیص تغییرات در این نوع تصمیم‌ها، منبع اصلی دریافت بازخورد منفی در دنیای واقعی است. به دنبال یک نتیجه نادرست، دو منبع بالقوه دریافت بازخورد منفی (استراتژی ناقص موجود در تصمیم‌های سطح بالا و یا عملکرد نادرست در اخذ تصمیم سطح پایین)، باید متمایز شوند تا عملکرد در آینده بهبود یابد [۲۱، ۲۲]. نتایج داده‌های رفتاری نشان دادند ابهام‌زدایی از علت دریافت بازخورد منفی نیاز به یک استنتاج فعال دارد. برای استنتاج، بازخوردهای منفی انتخاب‌های گذشته با قطعیت مربوط به تصمیم‌های سطح پایین وزن‌گذاری می‌شود تا یک اطمینان در مورد تغییر یا عدم تغییر تصمیم سطح بالا به دست بیاید. جدول ۱ نتایج حاصل از تحلیل پارامترهای مؤثر در تغییر استراتژی در تصمیمات سطح بالا (مستخرج از داده‌های رفتاری) را در مقایسه با مطالعات قبلی نشان می‌دهد.

سیگنال‌های ثبت شده از آزمونی‌ها، نماینده‌های از عملکرد نورون‌های مغز هستند [۳۳-۳۴]. در این پژوهش در کنار تحلیل داده‌های رفتاری، به مطالعه و بررسی سیگنال‌های مردمک چشم و

جدول ۱: مقایسه نتایج تحلیل داده‌های رفتاری با پژوهش‌های جدید

ردیف	بازخورد مثبت	بازخورد منفی				پژوهش	
		آزمایه آسان	آزمایه سخت	تعداد بازخورد	آزمایه آسان	آزمایه سخت	
	صفر (شکل 2B)	صفر (شکل 2B)	بی تاثیر (شکل 5D)	بی تاثیر (شکل 2B)	کم (شکل 2B)	افزایش احتمال تغییر استراتژی (شکل 3B)	[۲۱]
	صفر (شکل 1H)	صفر (شکل 1H)	بی تاثیر	بی تاثیر (شکل 1H)	کم (شکل 1H)	افزایش احتمال تغییر استراتژی (شکل 2G)	[۲]
	صفر (شکل ۲-الف) الف رنگ سبز)	صفر (شکل ۲-الف) رنگ سبز)	بی تاثیر (شکل ۲-ب)	بی تاثیر (شکل ۲-الف) رنگ قرمز)	کم (شکل ۲-الف) رنگ قرمز)	افزایش احتمال تغییر استراتژی (شکل ۲-ج)	این پژوهش

### ۳-۳- الگوریتم تصمیم‌گیری سلسه مراتبی

برای روشن شدن ساختار تصمیمات سطح بالا مغز انسان، ما الگوریتم را بر پایه سازوکار نورون‌ها پیشنهاد می‌کنیم. این الگوریتم دارای دو بخش است که شبیه‌ساز دو ناحیه مغز برای اخذ تصمیم است. بخش اول شامل دو جمع کننده مجزا است که هر کدام از آن‌ها شواهد ورودی را به نفع یکی از گزینه‌ها به سمت راست یا چپ تجمعی می‌کند. برای تجمعی شواهد تصمیم سطح پایین مدل‌های مختلفی مبتنی بر بیولوژی مغز وجود دارد [۲۶-۳۰]. ما از مدل رقابتی استفاده کردیم [۳۰]. هر کدام از جمع کننده‌ها که زودتر به حد آستانه بررسنده، تصمیم به نفع آن گزینه (چپ یا راست) اخذ می‌شود. قطعیت نیز هم‌زمان با اخذ تصمیم سطح پایین محاسبه می‌شود [۳۱-۳۲]. اختلاف عددی بین دو جمع کننده برنده و بازنده منعکس کننده قطعیت خواهد بود [۳۰]. بخش دوم برای تصمیم سطح بالا است. اگر بازخورد مثبت باشد متغیر تغییر تصمیم سطح بالا (SE<sup>۷</sup>) صفر خواهد بود و هیچ سیگنالی به بخش سطح بالا ارسال نخواهد شد و آزمایه بعدی شروع خواهد شد. ولی اگر نتیجه بازخورد منفی باشد، سیگنال بازخورد منفی وزن‌گذاری شده همراه با قطعیت به بخش سطح بالا منتقل می‌شود و اطلاعات این سیگنال‌ها در SE در چندین آزمایه تجمع می‌شود. اگر متغیر به حد آستانه بررسد در آزمایه بعدی محیط تغییر می‌کند و سپس SE به صفر بارگذاری می‌شود، در غیر این صورت بدون تغییر محیط آزمایه بعدی شروع می‌شود. شکل ۵ شبه-کدی از این نوع تصمیمات است.

### ۴- بحث و نتیجه‌گیری

نوآوری این تحقیق آنالیز سیگنال‌های مربوط به داده‌های چشمی (به صورت ویژه تغییرات قطر مردمک انسان) در هنگام انجام آزمایش سلسه مراتبی برای غلبه بر چالش دینامیک حاکم بر تغییرات تصمیمات سطح بالا است. مشاهده شد که عوامل مؤثر در تغییر استراتژی (قدرت محرک، قطعیت، بازخورد منفی) در این نوع تصمیمات در تغییرات قطر مردمک بازنمایی می‌شود. در سال‌های اخیر توانایی بالای مغز در پردازش داده‌ها و نحوه عملکرد آن مورد توجه قرار گرفته و الهام بخش طراحی بسیاری از سیستم‌های مشابه عملکرد انسان است [۸]. به عنوان نمونه، یک آشپز مخصوص خواهد بر اساس

جدول ۲: مقایسه نتایج تحلیل سیگنال‌های قطر مردمک با پژوهش‌های جدید

اندازه قطر مردمک					
بازخورد مثبت		بازخورد منفی		تغییر استراتژی	آزمایه پژوهش
آزمایه سخت	آزمایه آسان	آزمایه سخت	آزمایه آسان		
بزرگتر	کوچکتر	کوچکتر	بزرگتر	--	RDM [۲۴]
بزرگتر	کوچکتر	کوچکتر	بزرگتر	--	RDM [۳۶]
بزرگتر	کوچکتر	کوچکتر	بزرگتر		آزمایه شنیداری [۳۷]
--	--	کوچکتر	بزرگتر	بزرگتر	آزمایه شنیداری [۳۸]
--	--	کوچکتر	بزرگتر	RDM سلسله مرتبی	این پژوهش

نخواهد بود در نتیجه اندازه میانگین قطر مردمک کوچک‌تر خواهد بود.

در نهایت ما توانستیم الگوریتمی برای تصمیم‌های سلسله مرتبی ارائه دهیم که می‌تواند مبنی بر عملکرد مغز انسان باشد. پس از رمزگشایی از شواهد حسی در قشر گیجگاهی میانی (MT<sup>A</sup>) [۸] اخذ تصمیم سطح پایین در ناحیه قشر آهیانهای خلفی (LIP<sup>B</sup>) مغز انجام می‌پذیرد [۹]. همچنین هم دامنه و هم‌مان فعالیت نورون‌های این ناحیه منعکس کننده قطعیت تصمیم است [۳۵]. در صورتی که نتیجه تصمیم بازخورد منفی باشد، سیگنال به نواحی دیگر مغز ار سال می‌شوند. با ثبت نورونی از میمون نشان داده شده که دو ناحیه قشر سیننگولیت قدامی (ACC<sup>C</sup>) و قشر پیشانی داخلی پشتی (DMFC<sup>D</sup>) در تصمیم‌های سطح بالا فعال هستند. DFMC به عنوان ورودی برای ACC عمل می‌کند و داده‌های لحظه‌ای مربوط به تصمیم سطح پایین را به ACC انتقال می‌دهد که در واقع قطعیت حیوان در تصمیم سطح پایین و تعداد بازخوردهای منفی را نشان می‌دهد. در ACC عمل جمع این داده‌ها که مربوط به زیرمجموعه‌ای از آزمایه‌ها است انجام می‌پذیرد و زمانی که این تجمعی به یک حد آستانه می‌رسد تغییر استراتژی برای تصمیم سطح بالا انجام می‌شود [۲].

نکته حائز اهمیت این است که در مقایسه با تحلیل داده‌های رفتاری حاصل از مطالعه پورسل و همکاران [۲۱] و ثبت نورونی از میمون [۲] تغییر استراتژی تصمیم سطح بالا به درستی در سیگنال‌های استخراج شده از قطر مردمک انسان انعکاس می‌یابد. بدین ترتیب می‌توان از مدل مبتنی بر مردمک به دست آمده در این تحقیق به عنوان ابزاری برای پیش‌بینی احتمال تغییر تصمیم های سطح بالا استفاده کرد.

### سپاسگزاری

این پژوهش از پایان‌نامه مورد حمایت ستاد علوم شناختی با شماره ۹۱۱۴ استخراج شده است.

### مراجع

- [1] P. R. Murphy, N. Wilming, D. C. Hernandez-Bocanegra, G. Prat-Ortega, and T. H. Donner, "Adaptive circuit dynamics across human cortex during evidence accumulation in

ارتباط آن‌ها با بازخورد منفی و قدرت محرك (قطعیت) در تصمیم‌های سلسله مرتبی پرداخته شد. از آنجایی که تغییرات استراتژی مربوط به تصمیمات سطح بالا پنهان هستند داده‌های رفتاری پیش‌بینی کننده خوبی برای تغییرات استراتژی تصمیمات سطح بالا نیستند. بنابراین معرفی روش جدید با استفاده از انواع داده‌های دیگر به غیر از داده‌های رفتاری برای پیش‌بینی احتمال تغییر تصمیم می‌تواند بسیار مورد توجه باشد.

در این پژوهش دو مؤلفه از سیگنال‌های مردمک، در آزمایه‌های با بازخورد منفی در بازه پس از بازخورد-تصمیم معرفی شدند. (مقدار بیشینه قطر مردمک و میانگین اندازه قطر مردمک). نتایج حاصل از این مطالعه نشان داد که اطلاعات استخراجی از داده‌های مردمک، رابطه متناسب با قدرت‌های محرك آزمایه‌ها دارند (شکل ۳-الف و ب). همچنین در توالی بازخورد‌های منفی تفاوت متناسبی در سیگنال‌های استخراج شده مردمک دیده می‌شود. زمانی که توالی بازخوردهای منفی افزایش می‌یابد به این معنی است که اطلاعات زیادی از انتخاب‌های پیشین برای اتمام توالی بازخوردهای منفی جمع‌آوری شده است. افزایش باز اطلاعاتی مربوط به تغییر تصمیم در مغز منجر به افزایش اندازه قطر مردمک و همچنین مقدار بیشینه آن خواهد شد (شکل ۲-ج و ۵). در واقع می‌توان به این نکته اشاره کرد که در مجموع مؤلفه‌های معرفی شده همبستگی معنی‌داری با پارامترهای تصمیم‌های سلسله مرتبی دارند و ترکیب مسئله می‌تواند درک جامع‌تری از چگونگی شکل‌گیری تصمیم سلسله مرتبی ارائه دهد. در جدول ۲ نتایج حاصل از تحلیل سیگنال‌های مردمک با مطالعات قبلی مقایسه شد و نشان داده شد تحلیل حاصل در این پژوهش با مطالعات دیگر مطابقت دارد.

این مطالعه علاوه بر اینکه، تغییرات سیگنال قطر مردمک را در قدرت‌های محرك مختلف نشان داد، همچنین مشخص کرد که اندازه قطر مردمک قبل از تغییر محیط بزرگ‌تر است (شکل ۳-الف و ب). این مسئله نشان از اهمیت پارامتر قدرت محرك و بازخورد منفی توأمًا در تغییر تصمیم سطح بالا دارد. تعامل این دو پارامتر مهم در تغییر تصمیم‌های سطح بالا در میانگین اندازه قطر مردمک در تک‌تک آزمایه‌ها، در شکل ۳-ب قابل مشاهده است. این تحلیل نشان داد بعد از تغییر تصمیم، فعالیت و تلاشی برای جمع‌آوری اطلاعات لازم

- flexibility and reward sensitivity following nicotinic receptor stimulation in dependent smokers: a randomized trial," *JAMA psychiatry*, vol. 74, no. 6, pp. 632-640, 2017.
- [21] B. A. Purcell, and R. Kiani, "Hierarchical decision processes that operate over distinct timescales underlie choice and changes in strategy," *Proceedings of the national academy of sciences*, vol. 113, no. 31, pp. E4531-E4540, 2016.
- [22] W. Keung, T. A. Hagen, and R. C. Wilson, "Regulation of evidence accumulation by pupil-linked arousal processes," *Nature Human Behaviour*, vol. 3, no. 6, pp. 636-645, 2019.
- [23] J. C. Van Slooten, S. Jahfari, T. Knapen, and J. Theeuwes, "How pupil responses track value-based decision-making during and after reinforcement learning," *PLoS computational biology*, vol. 14, no. 11, pp. e1006632, 2018.
- [24] O. Colizoli, J. W. de Gee, A. E. Urai, and T. H. Donner, "Task-evoked pupil responses reflect internal belief states," *Scientific reports*, vol. 8, no. 1, pp. 1-13, 2018.
- [25] L. C. Yan, B. Joshua, and H. Geoffrey, "Deep learning," *nature*, vol. 521, no. 7553, pp. 436-444, 2015.
- [26] X.-J. Wang, "Probabilistic decision making by slow reverberation in cortical circuits," *Neuron*, vol. 36, no. 5, pp. 955-968, 2002.
- [27] K.-F. Wong, and X.-J. Wang, "A recurrent network mechanism of time integration in perceptual decisions," *Journal of Neuroscience*, vol. 26, no. 4, pp. 1314-1328, 2006.
- [28] D. Vickers, "Evidence for an accumulator model of psychophysical discrimination," *Ergonomics*, vol. 13, no. 1, pp. 37-58, 1970.
- [29] R. Ratcliff, "A diffusion model account of response time and accuracy in a brightness discrimination task: Fitting real data and failing to fit fake but plausible data," *Psychonomic bulletin & review*, vol. 9, no. 2, pp. 278-291, 2002.
- [30] R. Bogacz, E. Brown, J. Moehlis, P. Holmes, and J. D. Cohen, "The physics of optimal decision making: a formal analysis of models of performance in two-alternative forced-choice tasks," *Psychological review*, vol. 113, no. 4, pp. 700, 2006.
- [31] F. Majdabadi, and R. Ebrahimpour, "The role of explicit and implicit confidence in multi-stage decisions," *Advances in Cognitive Science*, pp. 37, 2020.
- [32] S. Vafaei, R. Ebrahimpour, and S. Zabbah, "The Relationship Between Pupil Diameter Data and Confidence in Multi-Stage Decisions," *The Neuroscience Journal of Shefaye Khatam*, pp. 70-79, 2020.
- [۳۳] حسن پور خ، سید عربی م، دانشور س. کنترل صندلی چرخ دار بر پایه سیگنال های EEG به وسیله واسط مغز و ماشین. پژوهش سیگنال پیشرفته. ۱۷-۲۰(۱)۲۰۲۰.
- [۳۴] [ مقداری م، زلفی لیقوان م، دانشور س. تشخیص تصویر گفتار کلمات بازی سنگ، کاغذ، قیچی با استفاده از سیگنال های EEG. پژوهش سیگنال پیشرفته. :- ۲۰-۲۱.
- [35] R. Kiani, and M. N. Shadlen, "Representation of confidence associated with a decision by neurons in the parietal cortex," *science*, vol. 324, no. 5928, pp. 759-764, 2009.
- [36] A. E. Urai, A. Braun, and T. H. Donner, "Pupil-linked arousal is driven by decision uncertainty and alters serial choice bias," *Nature Communications*, vol. 8, no. 1, pp. 1-11, 2017.
- [37] K. M. Lempert, Y. L. Chen, and S. M. Fleming, "Relating pupil dilation and metacognitive confidence during auditory decision-making," *PLoS One*, vol. 10, no. 5, p. e0126588, 2015.
- [38] A. L. Filipowicz, C. M. Glaze, J. W. Kable, and J. I. Gold, "Pupil diameter encodes the idiosyncratic, cognitive complexity of belief updating," *Elife*, vol. 9, p. e57872, 2020.
- changing environments," *Nature Neuroscience*, pp. 1-11, 2021.
- [2] M. Sarafyazd, and M. Jazayeri, "Hierarchical reasoning by neural circuits in the frontal cortex," *Science*, vol. 364, no. 6441, 2019.
- [3] D. Peixoto, J. R. Verhein, R. Kiani, J. C. Kao, P. Nuyujikian, C. Chandrasekaran, J. Brown, S. Fong, S. I. Ryu, and K. V. Shenoy, "Decoding and perturbing decision states in real time," *Nature*, vol. 591, no. 7851, pp. 604-609, 2021.
- [4] G. M. Stine, A. Zylberberg, J. Ditterich, and M. N. Shadlen, "Differentiating between integration and non-integration strategies in perceptual decision making," *Elife*, vol. 9, pp. e55365, 2020.
- [5] G. Kyriakarakos, K. Patlitzianas, M. Damasiotis, and D. Papastefanakis, "A fuzzy cognitive maps decision support system for renewables local planning," *Renewable and Sustainable Energy Reviews*, vol. 39, pp. 209-222, 2014.
- [6] J. L. Salmeron, A. Ruiz-Celma, and A. Mena, "Learning FCMs with multi-local and balanced memetic algorithms for forecasting industrial drying processes," *Neurocomputing*, vol. 232, pp. 52-57, 2017.
- [7] L. Yahyaie, and S. Khammohammadi, "A new multi-criteria decision making based on fuzzy-TOPSIS theory," *Journal of Advances in Computer Engineering and Technology*, vol. 2, no. 4, pp. 39-48, 2016.
- [8] E. Daglarli, "Computational Modeling of Prefrontal Cortex for Meta-Cognition of a Humanoid Robot," *IEEE Access*, vol. 8, pp. 98491-98507, 2020.
- [9] K. H. Britten, M. N. Shadlen, W. T. Newsome, and J. A. Movshon, "The analysis of visual motion: a comparison of neuronal and psychophysical performance," *Journal of Neuroscience*, vol. 12, no. 12, pp. 4745-4765, 1992.
- [10] M. N. Shadlen, and W. T. Newsome, "Neural basis of a perceptual decision in the parietal cortex (area LIP) of the rhesus monkey," *Journal of neurophysiology*, vol. 86, no. 4, pp. 1916-1936, 2001.
- [11] L. Van Maanen, R. P. Grasman, B. U. Forstmann, M. C. Keukens, S. D. Brown, and E.-J. Wagenmakers, "Similarity and number of alternatives in the random-dot motion paradigm," *Attention, Perception, & Psychophysics*, vol. 74, no. 4, pp. 739-753, 2012.
- [12] C. Strauch, L. Greiter, and A. Huckauf, "Pupil dilation but not microsaccade rate robustly reveals decision formation," *Scientific reports*, vol. 8, no. 1, pp. 1-9, 2018.
- [13] A. Mognon, J. Jovicich, L. Bruzzone, and M. Buiatti, "ADJUST: An automatic EEG artifact detector based on the joint use of spatial and temporal features," *Psychophysiology*, vol. 48, no. 2, pp. 229-240, 2011.
- [14] J. A. Lorteije, A. Zylberberg, B. G. Ouellette, C. I. De Zeeuw, M. Sigman, and P. R. Roelfsema, "The formation of hierarchical decisions in the visual cortex," *Neuron*, vol. 87, no. 6, pp. 1344-1356, 2015.
- [15] R. Van den Berg, A. Zylberberg, R. Kiani, M. N. Shadlen, and D. M. Wolpert, "Confidence is the bridge between multi-stage decisions," *Current Biology*, vol. 26, no. 23, pp. 3157-3168, 2016.
- [16] S. V. Shooshtari, J. E. Sadrabadi, Z. Azizi, and R. Ebrahimpour, "Confidence representation of perceptual decision by eeg and eye data in a random dot motion task," *Neuroscience*, vol. 406, pp. 510-527, 2019.
- [17] A. Zylberberg, J. A. Lorteije, B. G. Ouellette, C. I. De Zeeuw, M. Sigman, and P. Roelfsema, "Serial, parallel and hierarchical decision making in primates," *Elife*, vol. 6, pp. e17331, 2017.
- [18] J. A. Reggia, G. E. Katz, and G. P. Davis, "Humanoid cognitive robots that learn by imitating: Implications for consciousness studies," *Frontiers in Robotics and AI*, vol. 5, pp. 1, 2018.
- [19] S. Fatahi, and H. Moradi, "A fuzzy cognitive map model to calculate a user's desirability based on personality in e-learning environments," *Computers in Human Behavior*, vol. 63, pp. 272-281, 2016.
- [20] E. Lesage, S. E. Aronson, M. T. Sutherland, T. J. Ross, B. J. Salmeron, and E. A. Stein, "Neural signatures of cognitive

## زیرنویس‌ها

- 1 Random Dot Motion
- 2 Psychtoolbox
- 3 Kruskal Wallis Test
- 4 Linear Regression
- 5 Logistic Regression
- 6 Standart Error of Mean

- 7 Switch evidence
- 8 Medial Temporal
- 9 Lateral Intraparietal Cortex
- 10 Anterior Cingulate Cortex
- 11 Dorsal Medial Frontal Cortex